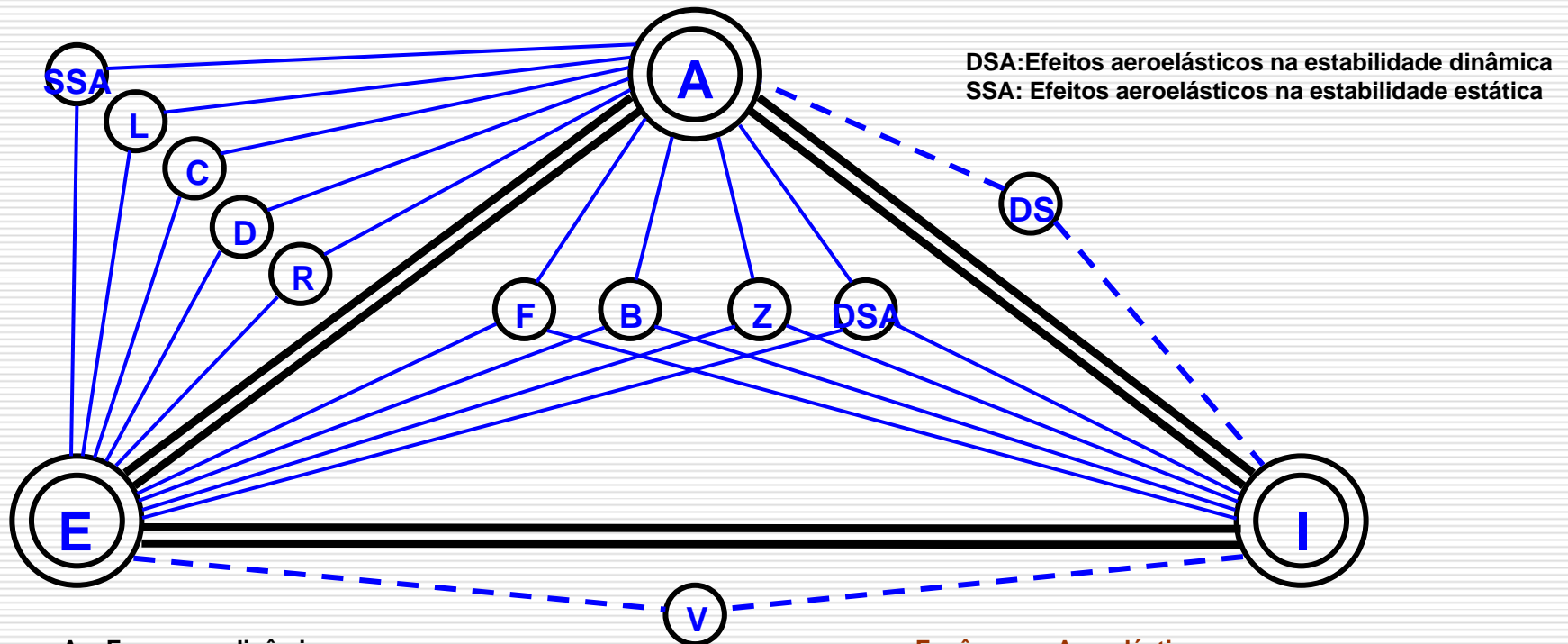




AE-249 - AEROELASTICIDADE

Aeroelasticidade Estática

Triângulo de Collar



DSA: Efeitos aeroelásticos na estabilidade dinâmica
SSA: Efeitos aeroelásticos na estabilidade estática

A: Força aerodinâmica
E: Força elástica
I: Força inercial

Fenômenos Aeroelásticos

Campos Relacionados
V: Vibrações mecânicas
DS: Estabilidade dinâmica

F: "Flutter"
B: "Buffeting"
Z: Resposta dinâmica
L: Distribuição de carga
D: Divergência
C: Eficiência de controle
R: Reversão do sistema de controle

Conceitos introdutórios – Parte I

□ **Análise matricial de estruturas**

Os deslocamento devido a flexibilidade estão relacionados às forças como:

$$\{F_i\} = [K_{ij}] \{u_j\}$$

Supondo que a estrutura é linear

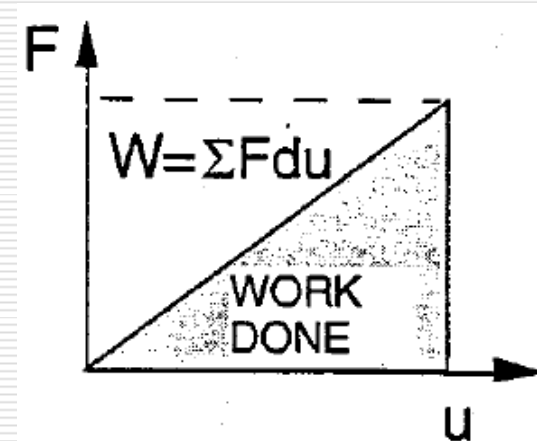
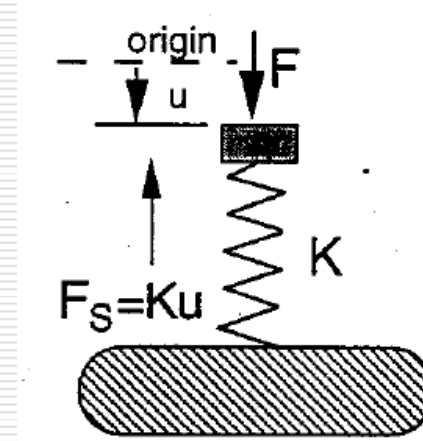
$[K_{ij}]$ - matriz de rigidez, composta por coeficientes de influência de rigidez. Cada coluna representa o conjunto de forças necessário para que o deslocamento u_i seja unitário e u_j sendo nulo quando $i \neq j$.

Análise matricial de estruturas

- Trabalho virtual realizado por uma força:

$$W = \sum F \cdot du = \frac{1}{2} F \cdot u =$$
$$= \frac{1}{2} K \cdot u \cdot u = \frac{1}{2} K \cdot u^2 \rightarrow$$

Energia potencial elástica



Análise matricial de estruturas

□ Na forma matricial:

$$W = \sum F \cdot du = \frac{1}{2} \{F_i\} \cdot \{u_i\} = \frac{1}{2} \{u_i\}^T \cdot \{F_i\} \Rightarrow$$

$$W = \frac{1}{2} \{u_i\}^T \cdot \{F_i\} \cdot \{u_j\} = U \rightarrow \text{Energia potencial elástica}$$

Note que diferenciando $\frac{\partial U}{\partial x_i} \Rightarrow$

refere-se a aplicação da equação de Lagrange:

$$\cancel{\frac{d}{dt} \left[\frac{\partial (T - U)}{\partial \dot{x}_i} \right]} - \frac{\partial (\cancel{T} - U)}{\partial x_i} = Q_j = \frac{\partial U}{\partial x_i} = F_i$$

Análise matricial de estruturas

□ Consequentemente temos:

$$\frac{\partial U}{\partial x_i} = \sum K_{ij} u_j = F_i$$

Note que:

$$\frac{\partial U}{\partial x_i \partial x_j} = K_{ij} = \frac{\partial U}{\partial x_j \partial x_i} = K_{ji}$$

Como a ordem de integração não altera o resultado, a matriz de rigidez deve ser simétrica

Os elementos diagonais devem ser positivos ou nulos, enquanto os demais não

Análise matricial de estruturas

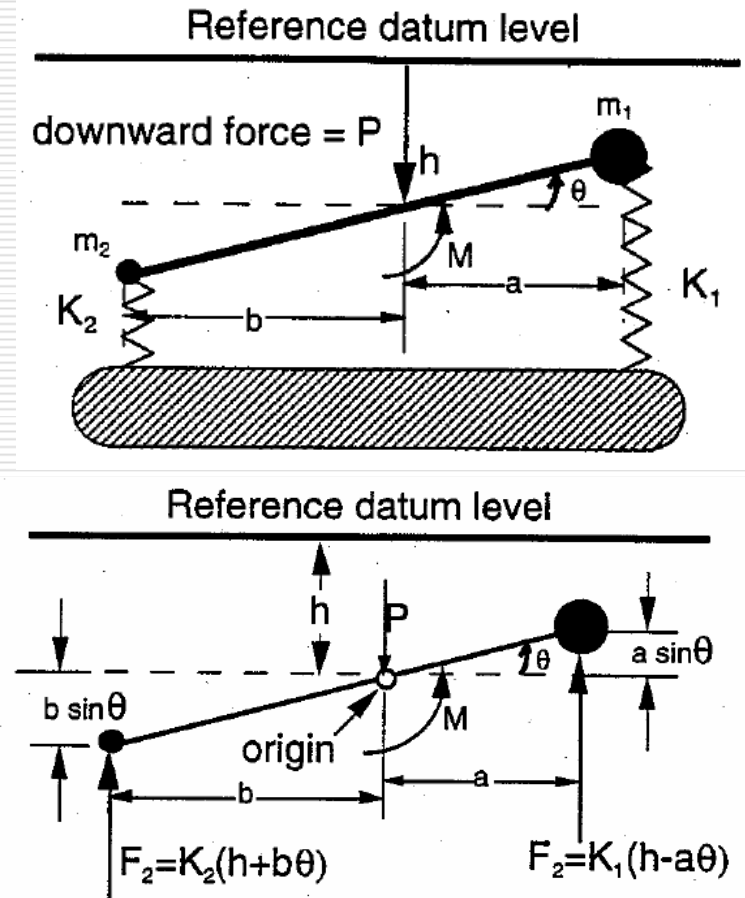
- Exemplo: construção da matriz de rigidez do sistema ao lado:

$$\sum F = P - K_1(h - a\theta) - K_2(h + b\theta) = 0$$

$$\sum M_T = M + K_1a(h - a\theta) - K_2b(h + b\theta) = 0$$

$$\begin{Bmatrix} P \\ M \end{Bmatrix} = \begin{bmatrix} (K_1 + K_2) & (K_2b - K_1a) \\ (K_2b - K_1a) & (K_1a^2 + K_2b^2) \end{bmatrix} \begin{Bmatrix} h \\ \theta \end{Bmatrix}$$

Note que os termos diagonais são sempre positivos, e que existe o acoplamento elástico (termos fora da diagonal)



Análise matricial de estruturas

- ❑ Centro de cisalhamento e centro de torção – são exatamente a mesma coisa, é o ponto onde ao se aplicar uma força só existirá cisalhamento, ou seja não existirá nenhum momento aplicado. Se $K_1 = K_2$, e $a = b$, a origem O é o centro de torção;
 - ❑ Este conceito é válido quando assume-se que a estrutura é linear;
 - ❑ Em aeroelasticidade, a posição do centro de torção será determinante na caracterização da estabilidade estática e dinâmica do sistema
-

Conceitos introdutórios – Parte II

□ Aerodinâmica básica

Definições básicas ->

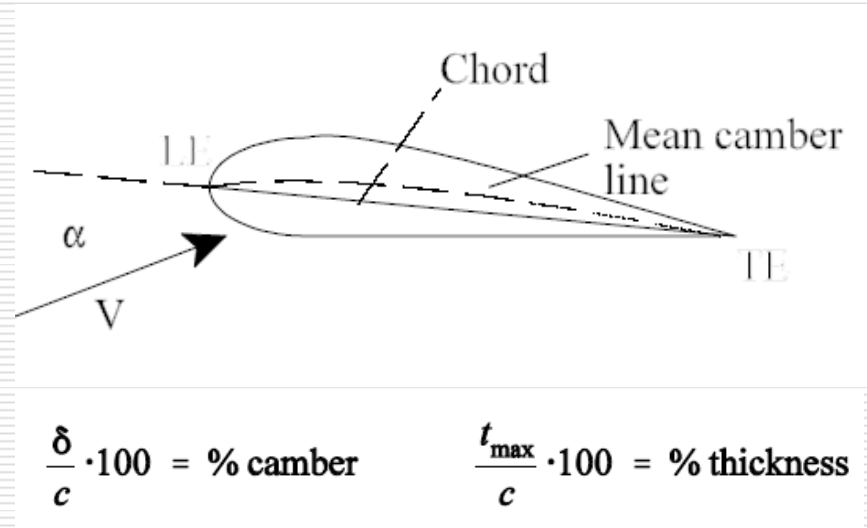
Geometria de um aerofólio bidimensional, daqui por diante abreviado para 2D.

c = corda

b = $\frac{1}{2}$ corda

V = Velocidade de escoamento não perturbado.

α = ângulo de ataque



Parâmetros de similaridade

- Em aerodinâmica, define-se como parâmetros de similaridade:

$$M = \frac{V}{a} \rightarrow \text{Número de Mach}$$

$$Re = \frac{\rho V c}{\mu} \rightarrow \text{Número de Reynolds}$$

V = vel. Escoamento
 a = velocidade do som
 ρ = densidade
 μ = visc. dinâmica
 ω = frequência circular
 S = área

- Em aeroelasticidade temos:

$$k = \frac{\omega b}{V}$$

$$\mu = \frac{m}{\pi \rho b^2 S}$$

Frequência reduzida massa aparente

Parâmetros de similaridade

- ❑ O uso de parâmetros de similaridade garante o efeito de escala dinâmica para comparações teórico experimentais.
 - ❑ Se Reynolds e Mach forem similares entre dois corpos imersos em um fluido, que sejam geometricamente similares, porém em escala diferente os parâmetros aerodinâmicos serão idênticos.
-

Sustentação e Momento

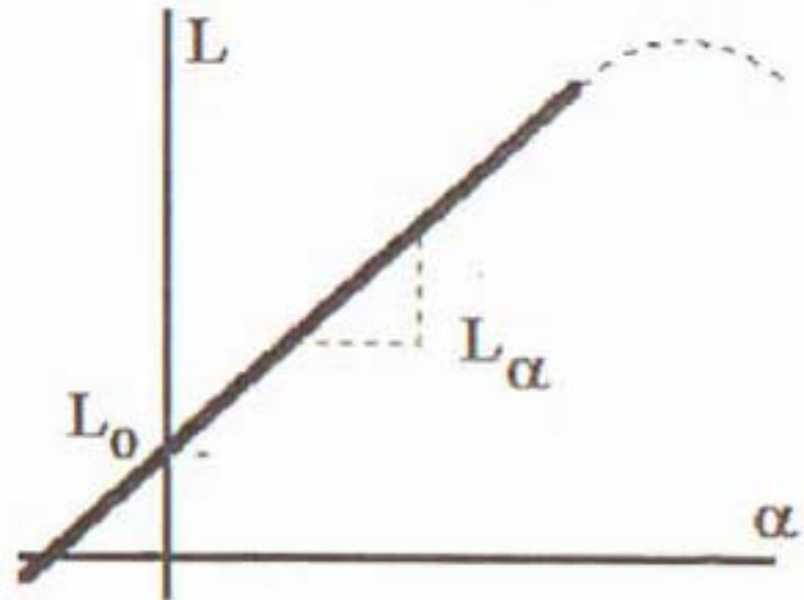
- Para calcular o momento, requer-se um comprimento de posição de referência;

$$L = L_o + \frac{dL}{d\alpha} \alpha$$

$$M = M_o + \frac{dM}{d\alpha} \alpha$$

$$qSC_L = qSC_{L_o} + qSC_{L_\alpha} \alpha$$

$$qScC_M = qScC_{M_o} + qScC_{M_\alpha} \alpha$$



Coeficientes aerodinâmicos

- Coeficientes de sustentação e momento:

$$C_l = \frac{l}{\frac{1}{2} \rho V^2 S} \quad C_m = \frac{m}{\frac{1}{2} \rho V^2 S c}$$

Nota: é usual definir os índices de coeficiente de seções 2D em minúsculas.

$$C_{l\alpha} = \frac{dC_l}{d\alpha} \Rightarrow C_l = C_{l0} + C_{l\alpha} \alpha = C_{l\alpha} (\alpha - \alpha_{0Lift})$$

α_{0Lift} - ângulo de ataque para sustentação nula

Transporte do momento

- Pode-se medir ou calcular o momento aerodinâmico em um determinado ponto e transporta-lo para outro ponto de interesse:

$$C_{ma} = C_{mb} + C_l (h_a - h_b)$$

- Onde a e b são dois pontos distintos situados a distâncias h_a e h_b do bordo de ataque em frações da corda "c".
-

Centro aerodinâmico

- Por definição o centro aerodinâmico é o ponto sobre o aerofólio onde o momento aerodinâmico não varia com o ângulo de ataque.

$$\frac{dC_{m_{ac}}}{d\alpha} = 0$$

- Para obter o centro aerodinâmico (ac), emprega-se a fórmula de transporte de momentos

$$C_{m_{ac}} = C_{mb} + C_l (h_{ac} - h_b)$$

Centro aerodinâmico

- Diferenciando em relação a α :

$$\frac{dC_{m_{ac}}}{d\alpha} = 0 = \frac{dC_{m_b}}{d\alpha} + \frac{dC_l}{d\alpha} (h_{ac} - h_b) \Rightarrow$$

$$h_{ac} = h_b - \frac{dC_{m_b}}{dC_l}$$

- Exemplo:

C_l	0,2	0,4	0,6	0,8
$C_{m_{1/3}}$	-0,02	0,00	0,02	0,04

Centro aerodinâmico

- Como os dados de túnel de vento acima comporta-se de forma linear,

$$\frac{dC_{m_{1/3}}}{dC_l} = \frac{0,04 - (-0,02)}{0,8 - 0,2} = 0,10$$

$$h_{ac} = h_{\frac{1}{3}} - \frac{dC_{m_{1/3}}}{dC_l} = \frac{1}{3} - 0,10 = 0,2333$$

- Para aerofólios finos em regime subsônico o centro aerodinâmico situa-se a uma posição a $\frac{1}{4}$ da corda aproximadamente.
-

Centro de pressão

- Posição onde o momento aerodinâmico é nulo pois é o ponto de aplicação da resultante do carregamento aerodinâmico distribuído sobre a corda.

- A sua posição pode ser determinada de:

$$C_{m_{xcp}} = C_{m_{1/3}} + C_l \left(h_{xcp} - \frac{1}{3} \right) = 0$$

$$-C_{m_{1/3}} = C_l \left(h_{xcp} - \frac{1}{3} \right) \Rightarrow h_{xcp} = \frac{C_{m_{1/3}}}{C_l} + \frac{1}{3} = \frac{0,02}{0,2} + \frac{1}{3} = 0,4333$$

- Note que a posição do C_p depende de α .
-

Porque o CA ao invés do CP?

- ❑ Embora o centro de pressão CP seja o ponto de aplicação da resultante aerodinâmica, a sua posição muda com a variação do ângulo de ataque.
 - ❑ Por outro lado, o que não muda com o ângulo de ataque é a posição do centro aerodinâmico CA.
 - ❑ Portanto, é razoável assumir como ponto de aplicação da resultante aerodinâmica a posição do centro aerodinâmico, uma vez que a força aerodinâmica variará proporcionalmente ao ângulo de ataque ao mesmo tempo que momento aerodinâmico permanecerá constante ou nulo (placa plana).
 - ❑ Note que para o caso de um aerofólio fino, ou mesmo a representação da seção de um aerofólio por uma placa plana a posição do CA será aproximadamente e exatamente a $\frac{1}{4}$ da corda, respectivamente. e todo o momento atuante no aerofólio será oriundo da sustentação multiplicada pela distancia do ponto de giro do aerofólio ao centro aerodinâmico a $\frac{1}{4}$ da corda.
 - ❑ Note que para o caso da placa sem arqueamento, o momento aerodinâmico será nulo ($C_{mac_0} = 0$)
-

Mais definições...

□ Asa finita (3D)

Λ_e = enflechamento do
bordo de ataque (LE)

A = área da asa

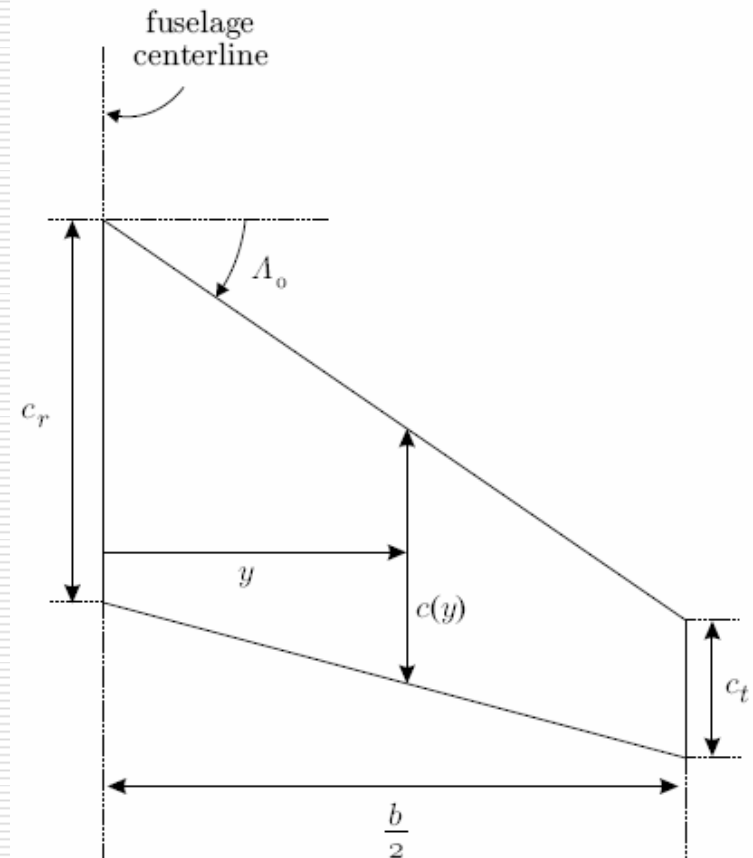
$b/2$ ($s/2$) = $\frac{1}{2}$ envergadura

C_r = corda na raiz

C_t = corda na ponta

$\frac{ct}{cr} = \lambda$ afilamento

$AR = \frac{s^2}{A}$ alongamento



Corda média aerodinâmica (MAC)

- Corda de uma asa retangular com a , com a mesma área A , cujas características aerodinâmicas (sustentação e momento de arfagem) são iguais a asa original.

$$MAC = \int_0^{\frac{s}{2}} c^2(y) dy$$

$$MAC = \frac{2}{3} cr \frac{1 + \lambda + \lambda^2}{1 + \lambda} \rightarrow$$

Asa reta e afilada, e será importante para adimensionalizar A frequência reduzida

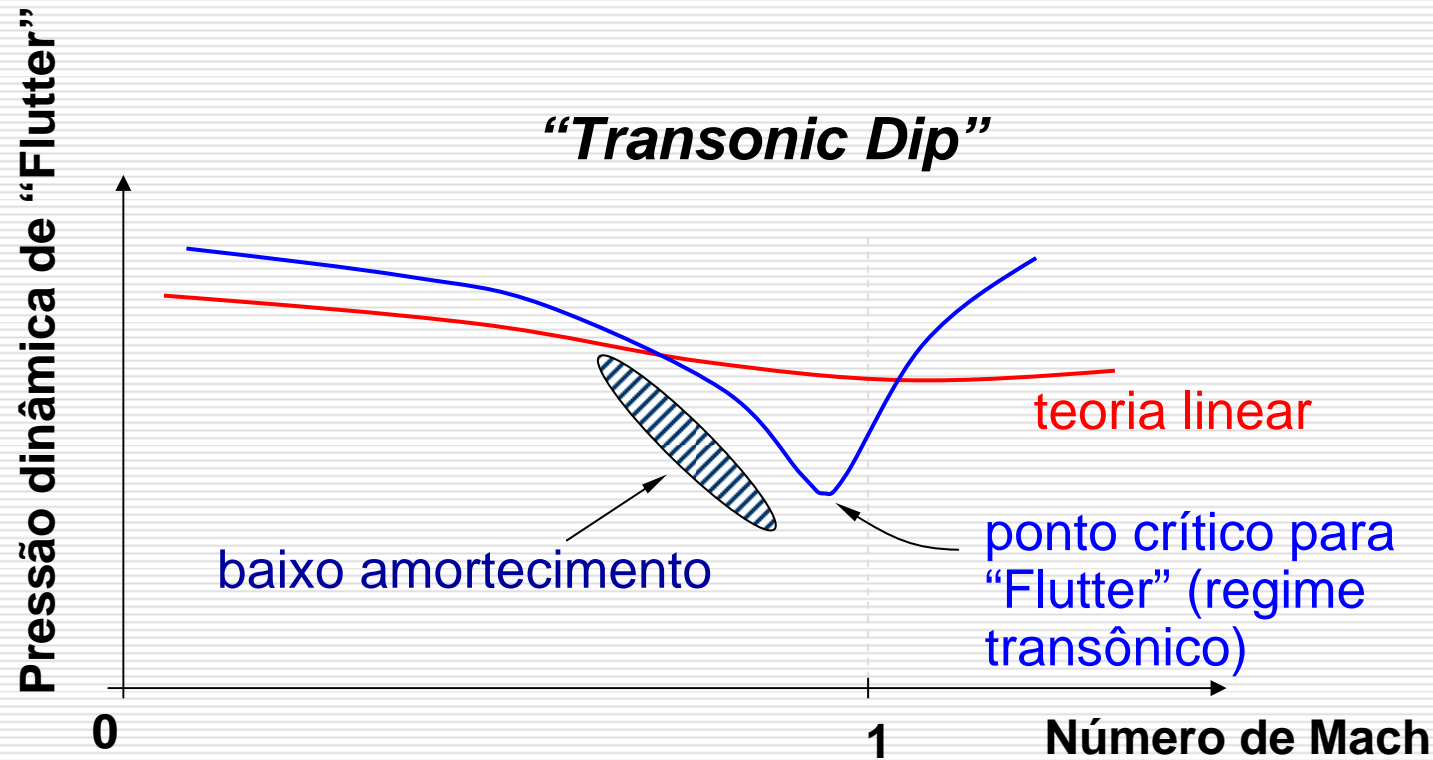
Compressibilidade

- ❑ Os coeficientes aerodinâmicos bem como as suas derivadas dependem de efeitos de compressibilidade;
- ❑ Este efeito é representado pela correção de compressibilidade conhecida também como correção de Prandtl-Glauert;

$$\frac{dC_l}{d\alpha} = C_{l\alpha} = \frac{C_{l\alpha}^{Inc}}{\sqrt{1-M^2}}$$

- ❑ Não só coeficientes, mas também a posição do centro aerodinâmico é alterada.
-

Regime Transônico



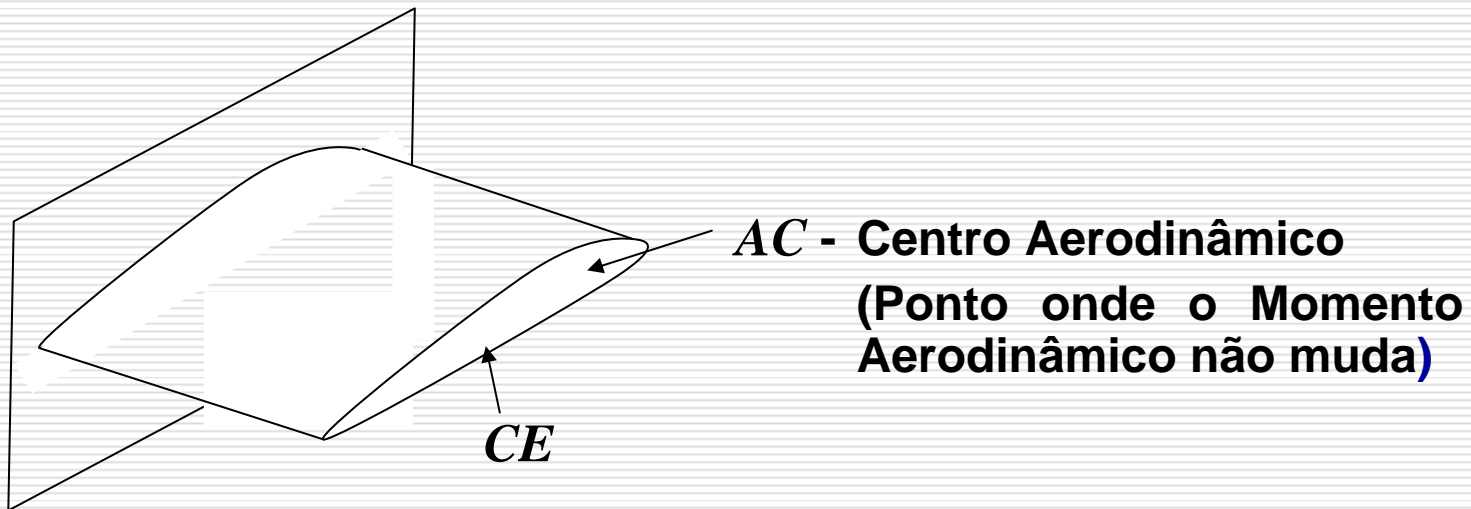
Introdução à Aeroelasticidade Estática



X-29

Aeroelasticidade Estática

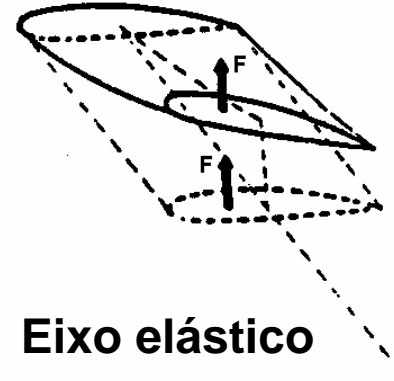
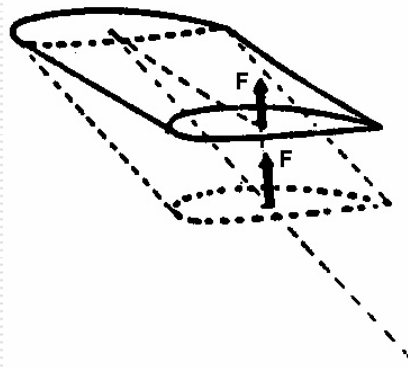
- ❑ **Centro Elástico (CE)**: é o ponto para o qual uma força normal à corda é aplicada e a seção não sofre torção, mas apenas flexão.
- ❑ Uma força aplicada fora do *CE* causa torção e flexão.



Aeroelasticidade Estática

- **Eixo Elástico**: linha ao longo do comprimento da semi-asa, formada pelos pontos (CE) onde forças podem ser aplicadas sem resultar em torção da mesma.

Esforço aplicado
no eixo elástico
(flexão)



Esforço aplicado
fora do eixo elástico
(torção e flexão)

Eixo elástico

Distribuição da sustentação

$$C_L = \frac{\partial C_L}{\partial \alpha} \alpha$$

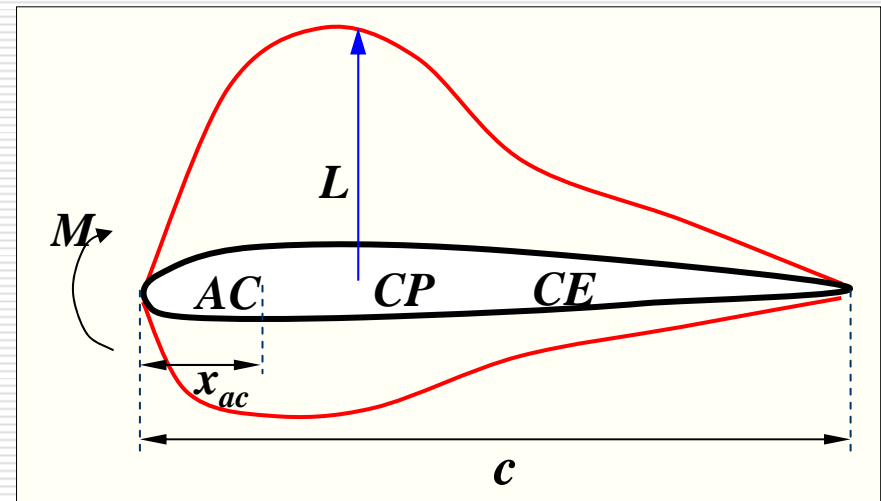
$$M_{AC(x)} = L \cdot x_{AC} + M_{AC}$$

$$M_{AC} = C_{M_{AC}} q \cdot S \cdot c$$

$$M_{x_{CP}} = 0$$

$$x_{AC} \cong \frac{c}{4} \quad \text{Escoamento subsônico (consegue-se o valor exato quando se aplica a teoria dos perfis finos).}$$

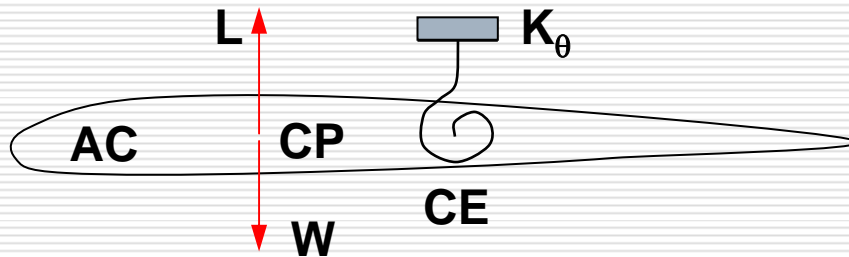
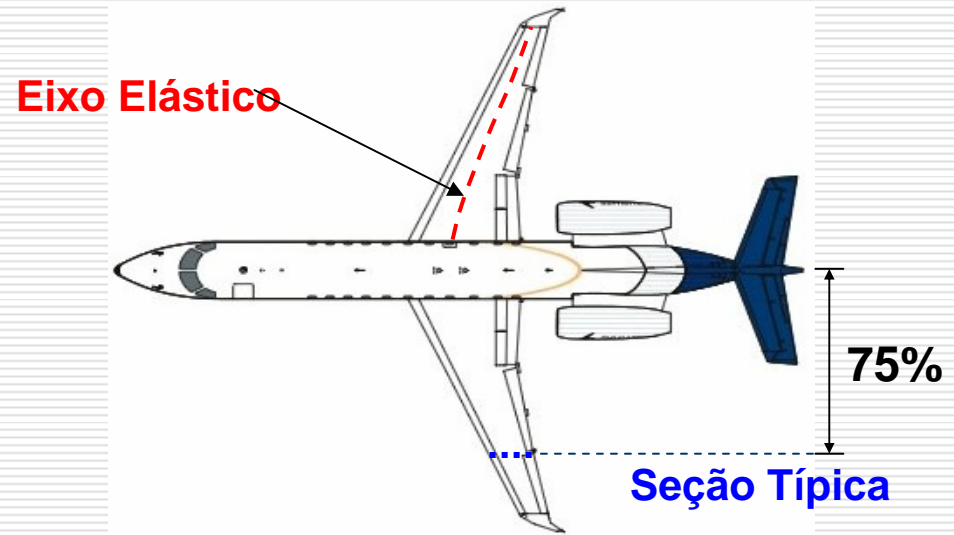
$$x_{AC} \cong \frac{c}{2} \quad \text{Escoamento supersônico}$$



Seção Típica de uma Asa

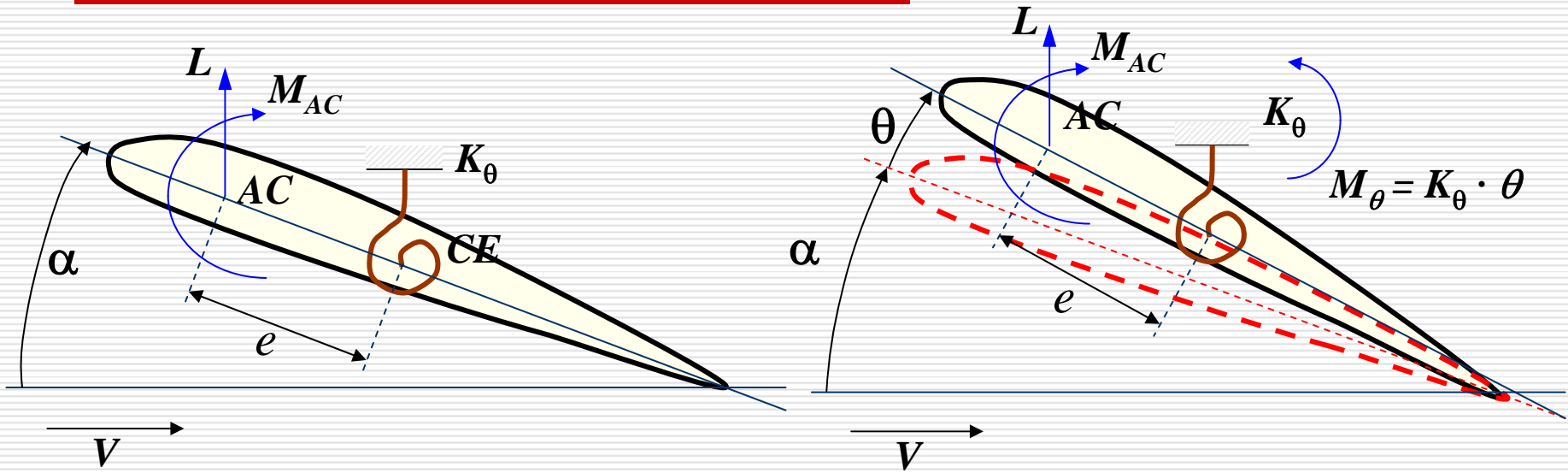
Seção mais representativa da asa. Em geral, é considerada a 75% da semi-envergadura da asa.

Esta seção depende da rigidez torcional ao longo da asa.



A resistência devido à rigidez torcional é a tendência de uma seção da asa em resistir à torção imposta pela seção adjacente. É representada pela *Mola Torcional* (K_θ).

Divergência Aeroelástica-1 GDL



- e - distância do CE ao AC
- α - ângulo de ataque inicial
- θ - ângulo de torção elástica

Obs.: Geralmente o “Flutter” ocorre antes que a Divergência, exceto para asas com enflechamento negativo.

Equilíbrio de Momentos (ref. CE)

$$M_{AC} + Le = K_{\theta} \theta$$

Em termos de coeficientes aerodinâmicos, tem-se:

$$C_{M_{AC}} qSc + \frac{\partial C_L}{\partial \alpha} (\alpha_0 + \theta) qSe = K_{\theta} \theta$$

Determina o quanto tem de torção, dependendo da velocidade. Então,

$$\theta = \frac{qS}{K_{\theta}} \left(\frac{e \frac{\partial C_L}{\partial \alpha} \alpha_0 + c C_{M_{AC}}}{1 - q \frac{Se}{K_{\theta}} \frac{\partial C_L}{\partial \alpha}} \right)$$

Obs.: θ aumenta quando diminui o denominador. Denominador nulo corresponde a *condição de divergência*.

Condição de divergência

Pressão Dinâmica de Divergência (q_D):

Que proporciona a divergência sobre um aerofólio.

$$q_D = \frac{K_\theta}{Se \left(\frac{\partial C_L}{\partial \alpha} \right)}$$

Velocidade de Divergência (V_D):

Velocidade em que ocorre a Divergência.

$$V_D = \sqrt{\frac{2K_\theta}{\rho Se \left(\frac{\partial C_L}{\partial \alpha} \right)}}$$

$$L_{Total} = qS \frac{\partial C_L}{\partial \alpha} (\alpha_0 + \theta) \quad \therefore \quad L_{Total} = L_{Rígida} + L_{Elástica}$$

O carregamento é alterado pela flexibilidade

Para aumentar a V_D : aumentar K_θ ; diminuir e ; e reduzir o ρ (aumentar o nível de vôo). Se $e < 0$, não existe a condição de Divergência.

Condição de divergência

- Note os termos que compõem a relação abaixo:

$$\theta = \frac{qSeC_{L\alpha}\alpha_0 + qScC_{M_{AC}}}{\underbrace{K_\theta}_{\text{"Rigidez Estrutural"}} - \underbrace{qSeC_{L\alpha}}_{\text{"Rigidez Aerodinâmica"}}}$$

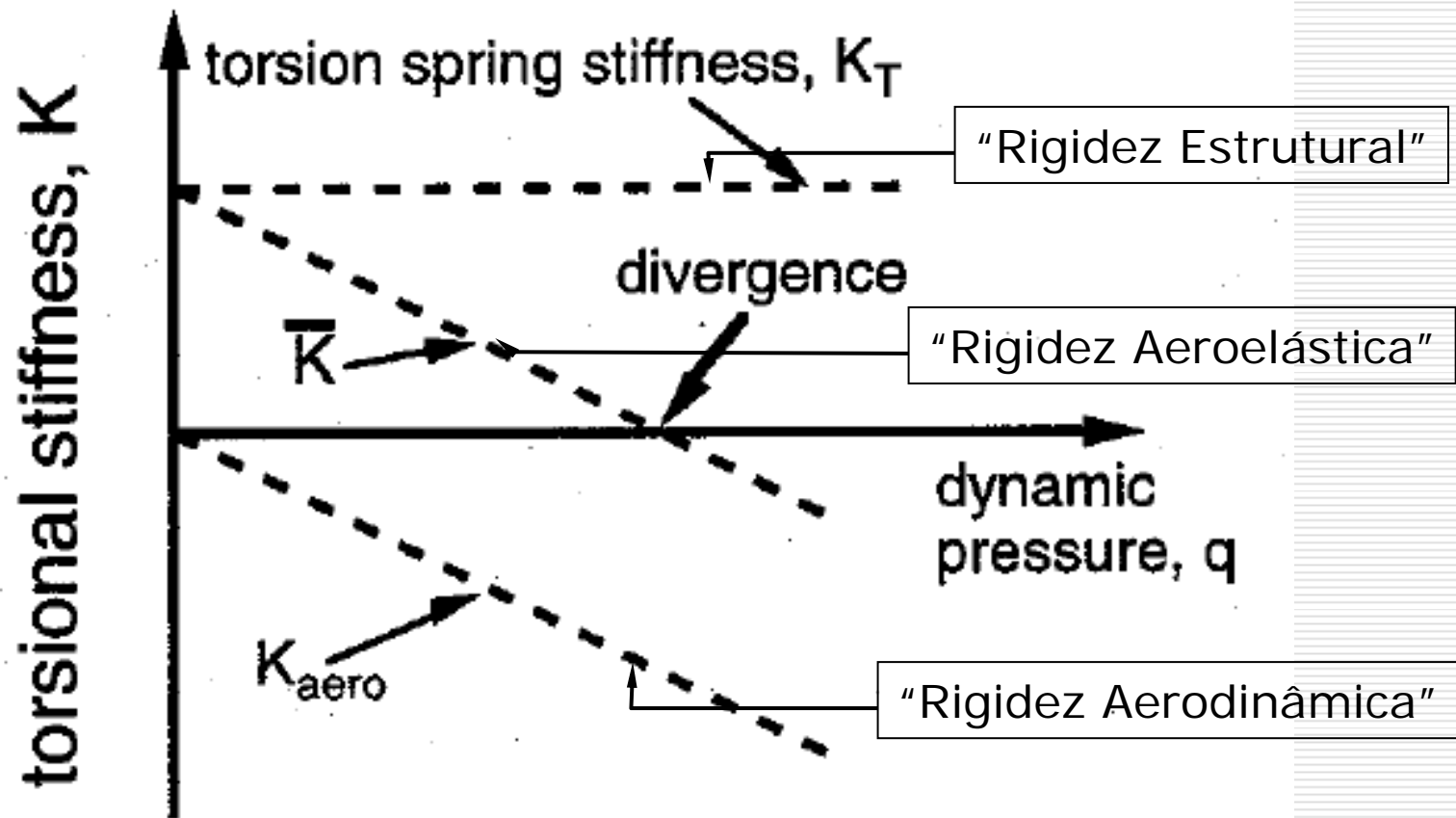
"Rigidez Estrutural"

"Rigidez Aerodinâmica"

"Rigidez Aeroelástica"

A divergência é uma instabilidade independente da magnitude dos esforços (momentos), mas sim dependente da rigidez aeroelástica

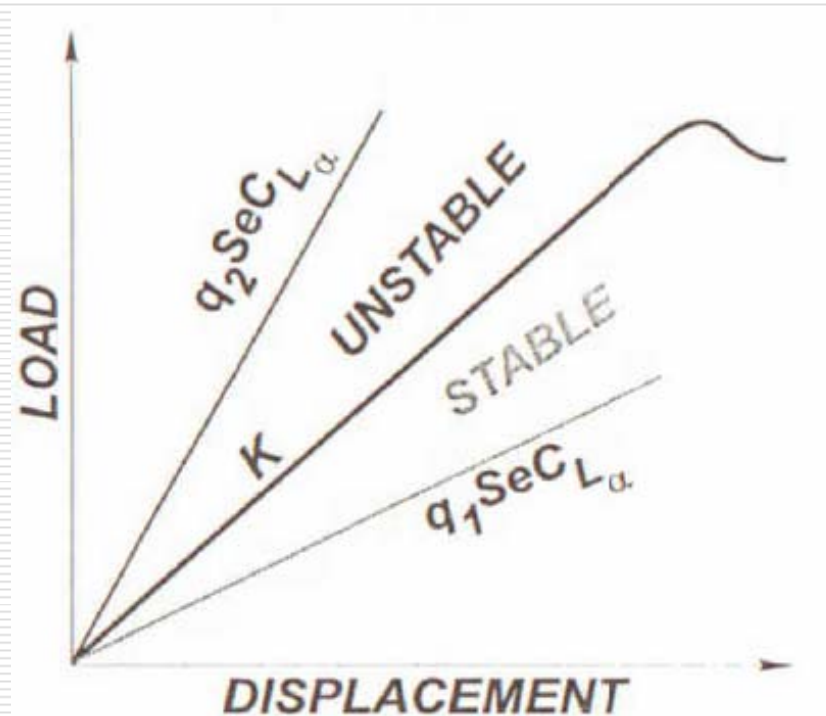
Condição de divergência



Condição de divergência

□ Graficamente:

$$K_{\theta} < q_2 SeC_{L\alpha}$$



$$K_{\theta} > q_1 SeC_{L\alpha}$$

Influência do peso

- O peso W , cujo ponto de aplicação é o CG, também tem influência sobre a torção elástica, devido o momento negativo gerado por ele, resultando em

$$M_{AC} + Le - \textcolor{red}{Wd} = K_{\theta}\theta$$

$$C_{M_{AC}} qSc + \frac{\partial C_L}{\partial \alpha} (\alpha_0 + \theta) qSe - \textcolor{red}{Wd} = K_{\theta}\theta$$

$$\theta = \frac{qS}{K_{\theta}} \left(\frac{e \frac{\partial C_L}{\partial \alpha} \alpha_0 + c C_{M_{AC}} - \textcolor{red}{Wd}}{1 - q \frac{Se}{K_{\theta}} \frac{\partial C_L}{\partial \alpha}} \right)$$

Entretanto, note que a divergência independe desta "força externa"...

Acréscimo de sustentação

Efeito Aeroelástico abaixo da VD :

$$M_{AC} + Le = K_{\theta}\theta \quad \therefore \quad Se \frac{\partial C_L}{\partial \alpha} (\alpha_0 + \theta) + qScC_{M_{AC}} = K_{\theta}\theta \quad \therefore$$

$$qSe \left(\underbrace{\alpha_0 + \frac{c}{e} \frac{C_{M_{AC}}}{\frac{\partial C_L}{\partial \alpha}}}_{\bar{\alpha}_0} + \theta \right) \frac{\partial C_L}{\partial \alpha} = K_{\theta}\theta$$

$\bar{\alpha}_0$ = ângulo de ataque antes da torção elástica

Acréscimo de sustentação

$$\text{Como } q_D = \frac{K_\theta}{Se\left(\frac{\partial C_L}{\partial \alpha}\right)} \quad \therefore \quad K_\theta = q_D Se\left(\frac{\partial C_L}{\partial \alpha}\right)$$

Então obtém-se :

$$q \cancel{Se}(\bar{\alpha}_0 + \theta) \cancel{\frac{\partial C_L}{\partial \alpha}} = q_D \cancel{Se} \cancel{\frac{\partial C_L}{\partial \alpha}} \theta \quad \Rightarrow \quad \frac{\bar{\alpha}_0 + \theta}{\bar{\alpha}_0} = \frac{1}{1 - \frac{q}{q_D}}$$

que é a expressão que indica o quanto de sustentação se tem em relação à asa rígida.

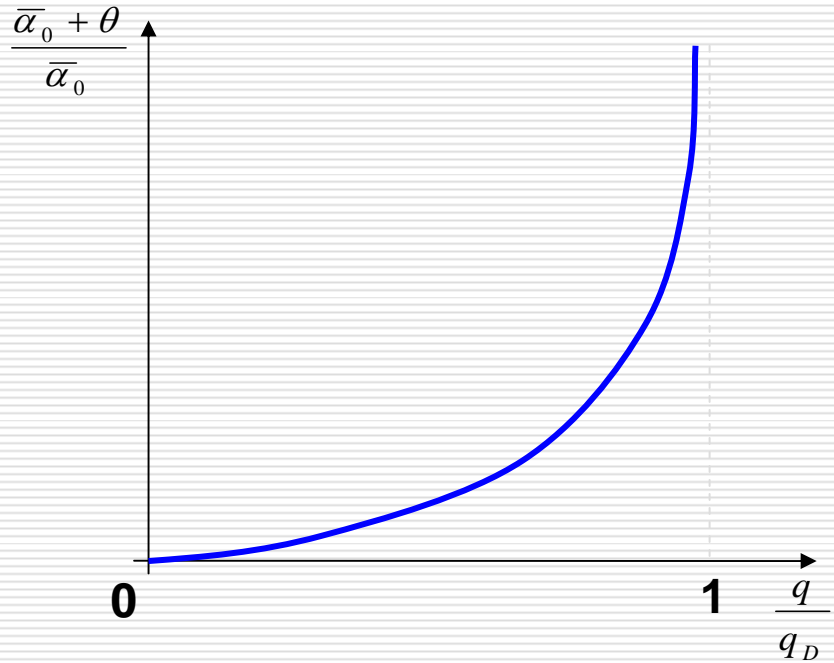
Sustentação Efetiva

$$L_{Efetiva} = \frac{L_{Rígida} + L_{Elástica}}{L_{Rígida}} \cong \frac{\bar{\alpha}_0 + \theta}{\bar{\alpha}_0}$$

$$\text{Ex.: } \frac{V}{V_D} = 0,8 \Rightarrow \frac{q}{q_D} = 0,64$$

$$\therefore \frac{\bar{\alpha}_0 + \theta}{\bar{\alpha}_0} \cong 0,3$$

$$\text{então } L_{Elástica} \cong 2L_{Rígida}$$

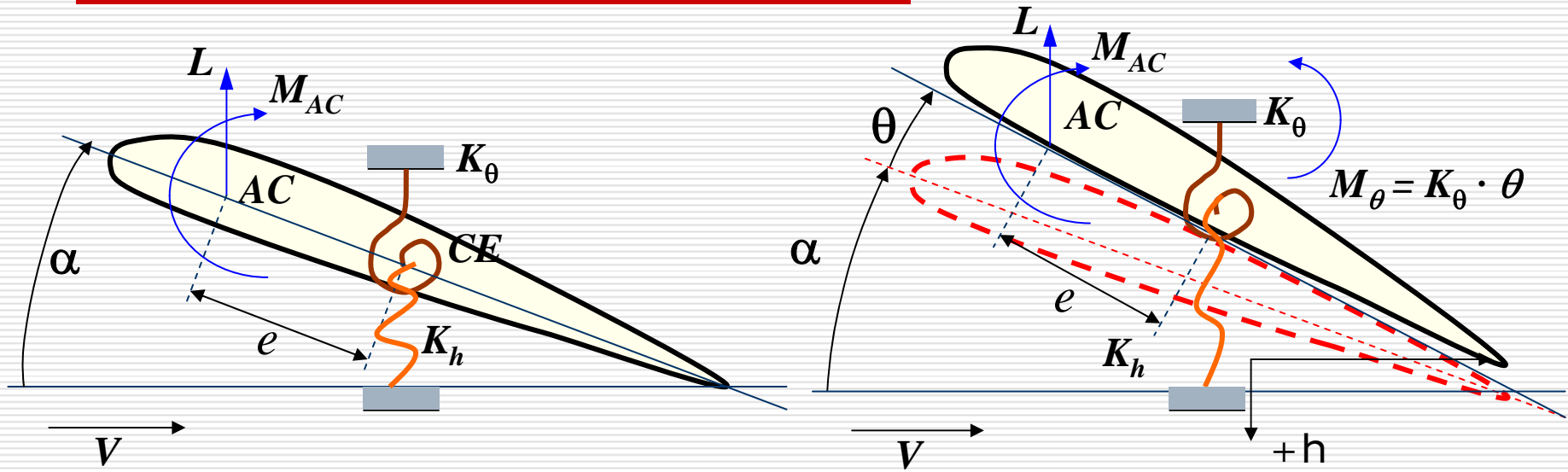


Mas, com $\bar{\alpha}_0 = 5^\circ \Rightarrow \theta = 10^\circ$, e $\bar{\alpha}_0 + \theta = 15^\circ$
que está fora da faixa linear (tomar cuidado).

Considerações adicionais

- ❑ A eficiência da sustentação modifica o desempenho da aeronave, e deve ser considerada no projeto;
 - ❑ As superfícies de sustentação devem ser dimensionadas considerando a flexibilidade;
 - ❑ A redistribuição da sustentação move o centro de pressão de uma asa na direção da raiz, e para a frente (direção do BA);
 - ❑ O estudo da estabilidade e controle da aeronave deve levar em conta os efeitos da flexibilidade.
-

Divergência Aeroelástica-2 GDL



- e - distância do CE ao AC
- α - ângulo de ataque inicial
- θ - ângulo de torção elástica
- h - deslocamento vertical

K_h = rigidez em translação

Equilíbrio de Momentos e Forças (ref. CE)

Sistema de duas equações a duas incógnitas:

$$M_{AC} + L \cdot e = K_{\theta} \cdot \theta$$

$$L = K_h \cdot h$$

Agrupando:

$$qS \left[\frac{\partial C_L}{\partial \alpha} (\alpha_0 + \theta) \right] = K_h \cdot h$$

$$qScC_{M_{AC}} + qSe \left[\frac{\partial C_L}{\partial \alpha} (\alpha_0 + \theta) \right] = K_{\theta} \cdot \theta$$

Equilíbrio de Momentos e Forças (ref. CE)

Na forma matricial:

$$\begin{bmatrix} K_h & 0 \\ 0 & K_\theta \end{bmatrix} \begin{Bmatrix} h \\ \theta \end{Bmatrix} = qSC_{L_\alpha} \begin{bmatrix} 0 & -1 \\ 0 & e \end{bmatrix} \begin{Bmatrix} h \\ \theta \end{Bmatrix} + qSC_{L_\alpha} \alpha_0 \begin{Bmatrix} -1 \\ e \end{Bmatrix} + qScC_{M_{AC}} \begin{Bmatrix} 0 \\ 1 \end{Bmatrix}$$

$$\begin{bmatrix} K_h & 0 \\ 0 & K_\theta \end{bmatrix} \begin{Bmatrix} h \\ \theta \end{Bmatrix} - qSC_{L_\alpha} \begin{bmatrix} 0 & -1 \\ 0 & e \end{bmatrix} \begin{Bmatrix} h \\ \theta \end{Bmatrix} = qSC_{L_\alpha} \alpha_0 \begin{Bmatrix} -1 \\ e \end{Bmatrix} + qScC_{M_{AC}} \begin{Bmatrix} 0 \\ 1 \end{Bmatrix}$$

$$\begin{bmatrix} \frac{K_h}{K_\theta} & \frac{qSC_{L_\alpha}}{K_\theta} \\ 0 & 1 - \frac{qSeC_{L_\alpha}}{K_\theta} \end{bmatrix} \begin{Bmatrix} h \\ \theta \end{Bmatrix} = \frac{qSC_{L_\alpha} \alpha_0}{K_\theta} \begin{Bmatrix} -1 \\ e \end{Bmatrix} + \frac{qScC_{M_{AC}}}{K_\theta} \begin{Bmatrix} 0 \\ 1 \end{Bmatrix}$$

Equilíbrio de Momentos e Forças (ref. CE)

Na forma matricial:

$$\begin{Bmatrix} h \\ \theta \end{Bmatrix} = \frac{qSC_{L_\alpha} \alpha_0}{K_\theta} \begin{bmatrix} \frac{K_\theta}{K_h} & \frac{\left(-qSC_{L_\alpha} / K_h\right)}{1 - \cancel{qSeC_{L_\alpha} / K_\theta}} \\ 0 & \frac{1}{1 - \cancel{qSeC_{L_\alpha} / K_\theta}} \end{bmatrix} \begin{Bmatrix} -1 \\ e \end{Bmatrix} + \frac{qScC_{M_{AC}}}{K_\theta} \begin{bmatrix} \frac{K_\theta}{K_h} & \frac{\left(-qSC_{L_\alpha} / K_h\right)}{1 - \cancel{qSeC_{L_\alpha} / K_\theta}} \\ 0 & \frac{1}{1 - \cancel{qSeC_{L_\alpha} / K_\theta}} \end{bmatrix} \begin{Bmatrix} 0 \\ 1 \end{Bmatrix}$$

Equilíbrio de Momentos e Forças (ref. CE)

Os deslocamentos são dados por:

$$h = \left[\frac{\left(-qSC_{L_\alpha} \alpha_0 / K_h \right)}{1 - \frac{qSeC_{L_\alpha}}{K_\theta}} \right] - \frac{qScC_{M_{AC}}}{K_\theta} \left[\frac{\left(-qSC_{L_\alpha} / K_h \right)}{1 - \frac{qSeC_{L_\alpha}}{K_\theta}} \right]$$
$$\theta = \left[\frac{\left(qSC_{L_\alpha} \alpha_0 / K_\theta \right)}{1 - \frac{qSeC_{L_\alpha}}{K_\theta}} \right] - \frac{qScC_{M_{AC}}}{K_\theta} \left[\frac{1}{1 - \frac{qSeC_{L_\alpha}}{K_\theta}} \right]$$

Moral da história: A pressão dinâmica de divergência é a mesma que o caso com 1 GDL.

Outros efeitos...

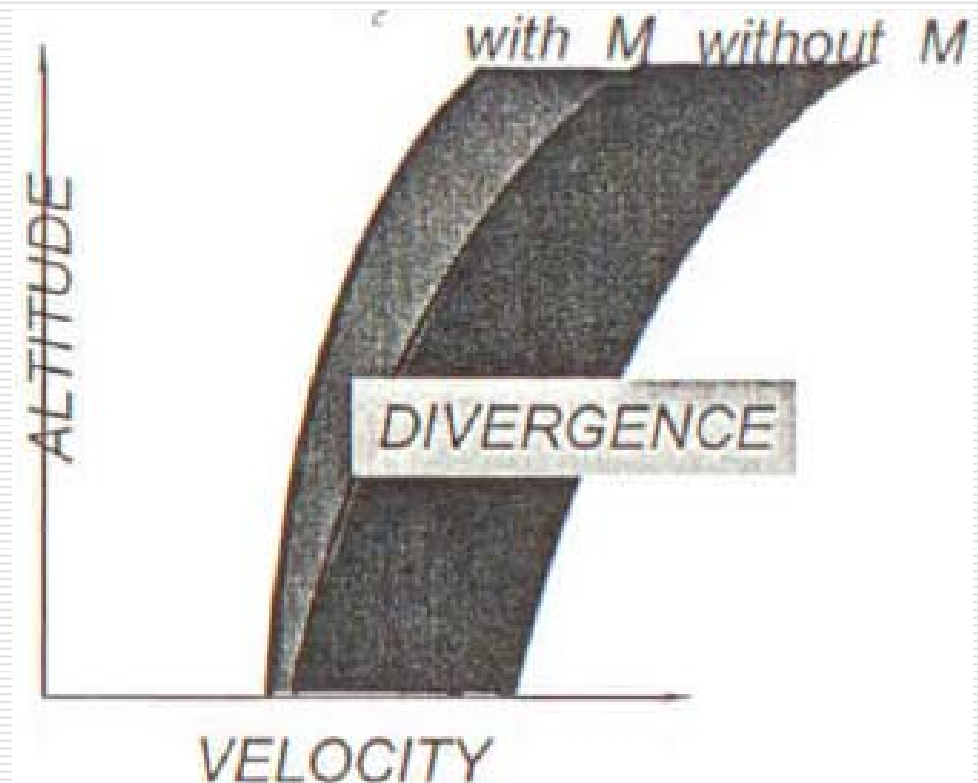
- ❑ A condição (pressão dinâmica, por exemplo) em que o aerofólio perde a sua resistência em torção é conhecida como divergência;
 - ❑ Não apenas o efeito da compressibilidade, mas também um eventual aquecimento aerodinâmico pode mudar as características estruturais da estrutura, diminuindo a sua rigidez. (Aerothermoelasticidade). Ex. vôos em regime hipersônico.
 - ❑ Uma falha estrutural pode alterar a característica aeroelástica e levar a divergência
-

O mais importante - efeito da compressibilidade

❑ Correção de Prandtl-Glauert:

$$q_D = \frac{K_\theta}{Se \frac{C_{L\alpha}^{inc}}{\sqrt{1-M^2}}}$$

A velocidade de divergência aumenta com a altitude, porém diminui com o efeito da compressibilidade.



O efeito da compressibilidade

$$q_D = \frac{K_T}{SeC_{L_\alpha}} \Rightarrow C_{L_\alpha} = \frac{C_{L_{\alpha 0}}}{\sqrt{1-M^2}}$$

$$q_{D_0} = \frac{K_T}{SeC_{L_{\alpha 0}}} \Rightarrow \boxed{q_D = \frac{K_T \sqrt{1-M^2}}{SeC_{L_{\alpha 0}}} = q_{D_0} \sqrt{1-M^2}}$$

Mais sobre compressibilidade...

- Todavia, o número de Mach muda a pressão dinâmica de divergência (Prandtl-Glauert);
- Porém não podemos trata-lo como um parâmetro independente; note a relação para a velocidade de divergência:

$$V_D = \sqrt{\frac{2K_\theta}{\rho Se \frac{C_{L\alpha}^{inc}}{\sqrt{1-M^2}}}}$$

- A velocidade de divergência depende do par ρ e M , uma vez que o número de Mach depende da altitude .
-

Mach de divergência

- ❑ Pergunta: se operarmos em uma determinada altitude, qual será o Mach de divergência? A condição de vôo calculada a partir da equação:

$$M = \frac{V}{a} \quad \text{e} \quad q = \frac{1}{2} \rho \cdot V^2 = \frac{1}{2} \rho \cdot M^2 a^2$$

deve corresponder (*match*) à condição calculada pela análise de divergência.

- ❑ Em outras palavras, a densidade e o número de Mach devem corresponder à velocidade calculada para uma determinada condição de vôo (altitude).
-

Mach de divergência

- Para tal, vamos calcular a pressão dinâmica incluindo o efeito da compressibilidade:

$$q_D = \frac{K_\theta \sqrt{1-M^2}}{S \cdot e \cdot C_{La}^{inc}} = q_0 \sqrt{1-M^2} = q_D^{inc} \sqrt{1-M^2}$$

- Combinando a equação acima com:

$$q = \frac{1}{2} \rho \cdot V^2 = \frac{1}{2} \rho \cdot M^2 a^2$$

- Tem-se :
-

Mach de divergência

- Continuação...

$$\frac{1}{2} \rho \cdot M^2 a^2 = q_D^{inc} \sqrt{1 - M^2} = q_s M^2$$

- Onde a pressão dinâmica q_s é a pressão correspondente a um escoamento à velocidade do som.
 - Ou seja, podemos usar a relação acima que é função exclusivamente do número de Mach e da pressão dinâmica de divergência em regime incompressível. Também é necessário identificar a altitude correspondente à análise para se calcular a velocidade do som e se obter a pressão dinâmica de referência para aquela altitude;
 - O resultado é uma equação quártica para o número de Mach apenas, a nossa incógnita. Este valor correspondente a uma dada altitude será o número de Mach de divergência:
-

Mach de divergência

$$M_D^4 + \left(\frac{q_{Do}}{q_s} \right)^2 M_D^2 - \left(\frac{q_{Do}}{q_s} \right)^2 = 0 \Rightarrow$$

$$M_D = + \sqrt{\frac{-\left(\frac{q_{Do}}{q_s} \right)^2 + \sqrt{\left(\frac{q_{Do}}{q_s} \right)^4 + 4 \left(\frac{q_{Do}}{q_s} \right)^2}}{2}}$$

O conceito de "*Match Point*"

- ❑ O conceito de "*Match Point*", ou "ponto correspondente" é muito utilizado para a correlação de resultados de análises aeroelástica com experimentos em vôo.
 - ❑ A idéia é obter uma velocidade de divergência que corresponda ao número de Mach a uma determinada altitude de vôo.
 - ❑ Ou seja, plota-se a pressão dinâmica corrigida para os efeitos de compressibilidade e a pressão dinâmica do escoamento a velocidade do som (a) correspondente a uma determinada altitude de vôo.
 - ❑ A interseção entre as duas curvas fornecerá o Mach de divergência, ou seja e deste valor pode-se obter a velocidade de divergência fisicamente correta para a condição investigada.
-

O conceito de "Match Point"

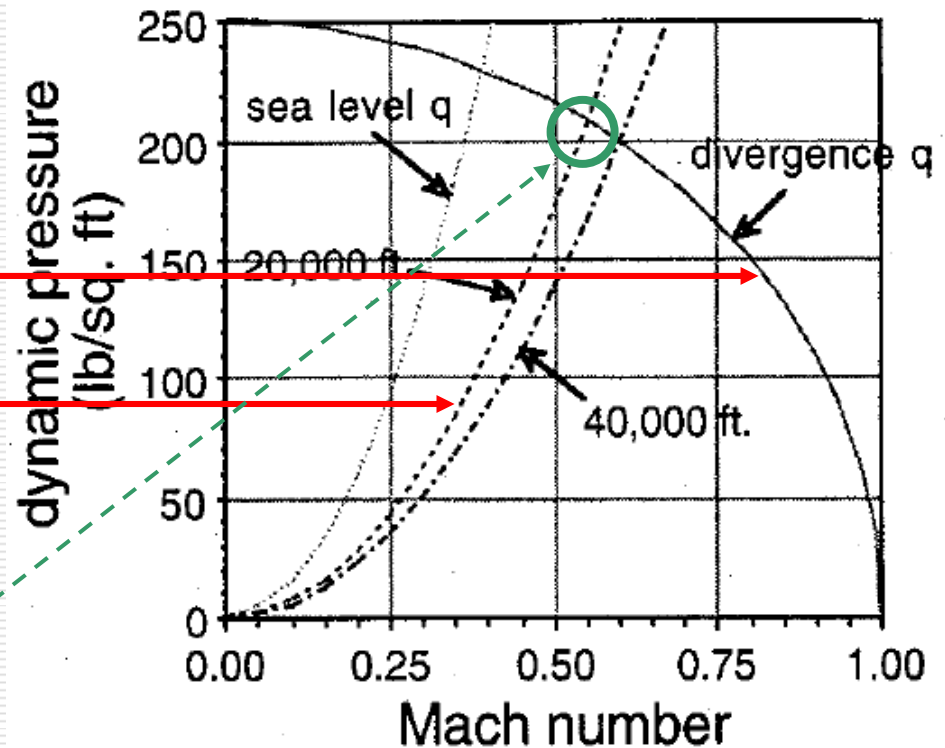
- O número de Mach de divergência é a interseção de duas curvas, resultado de plotar

$$q_D = q_D^{inc} \sqrt{1 - M^2}$$

$$q_S = \frac{1}{2} \rho \cdot M^2 a^2$$

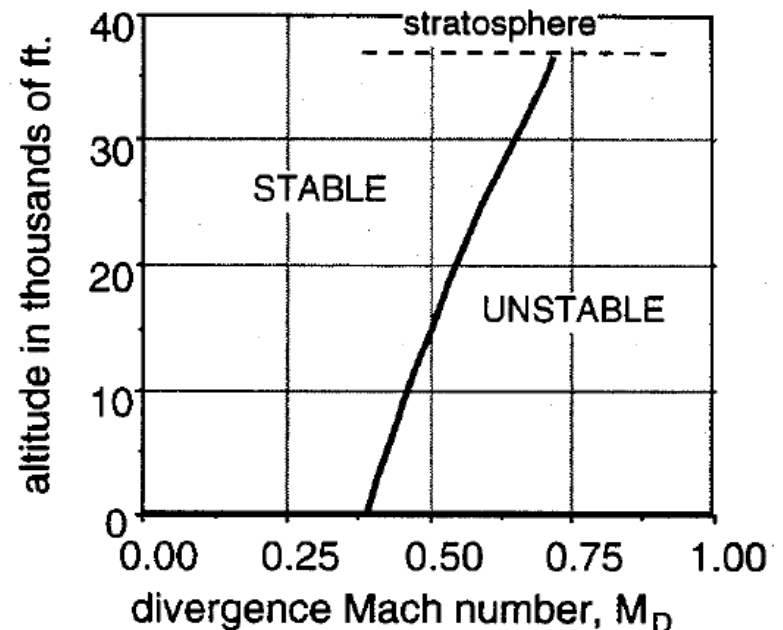
respectivamente como função do número de Mach. Este ponto é conhecido como

"Match Point"



Efeito da Altitude no Mach de divergência

- Do gráfico anterior, observa-se que o número de Mach de divergência aumenta com o aumento da altitude que implica na mudança da velocidade do som. Na figura ao lado pode-se também notar que o M_D aumenta acompanhando a altitude.



Evitando a divergência...

- Analisando a expressão:

$$q_D = \frac{K_\theta}{Se\left(\frac{\partial C_L}{\partial \alpha}\right)}$$

- Se diminuirmos “e”, a pressão dinâmica de divergência aumenta;
 - Se aumentarmos a rigidez da K_θ a pressão dinâmica de divergência aumenta.
 - Eventuais restrições no envelope de operação também são uma forma de evitar a divergência
-

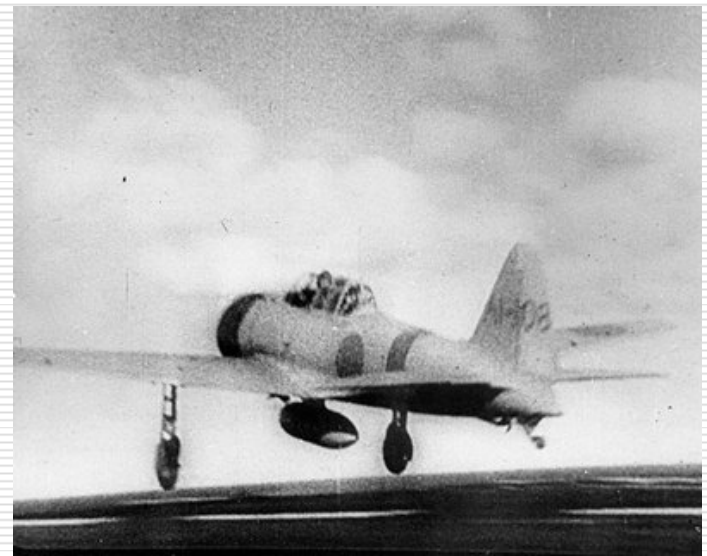
Hipóteses restritivas

- ❑ Contexto linear, a pequenas deformações, o que implica em comportamento linear do material e da aerodinâmica;
 - ❑ Deformações ocorrem em um período de tempo suficientemente grande, podendo-se classificar o fenômeno como quasi-estático.
-

Sumário

- ❑ A divergência aeroelástica é uma instabilidade prevista por uma análise de rigidez estática;
 - ❑ Próximo da condição de divergência, pequenas deformações em torção (incidência da asa) implicam em grande deformações que podem levar a carregamentos aerodinâmicos ainda maiores – pode-se atingir regimes não lineares quanto ao comportamento aerodinâmico;
 - ❑ Perto da condição de pressão dinâmica de divergência, o efeito da flexibilidade promove um incremento significativo na sustentação.
-

Eficiência e Reversão de Comandos



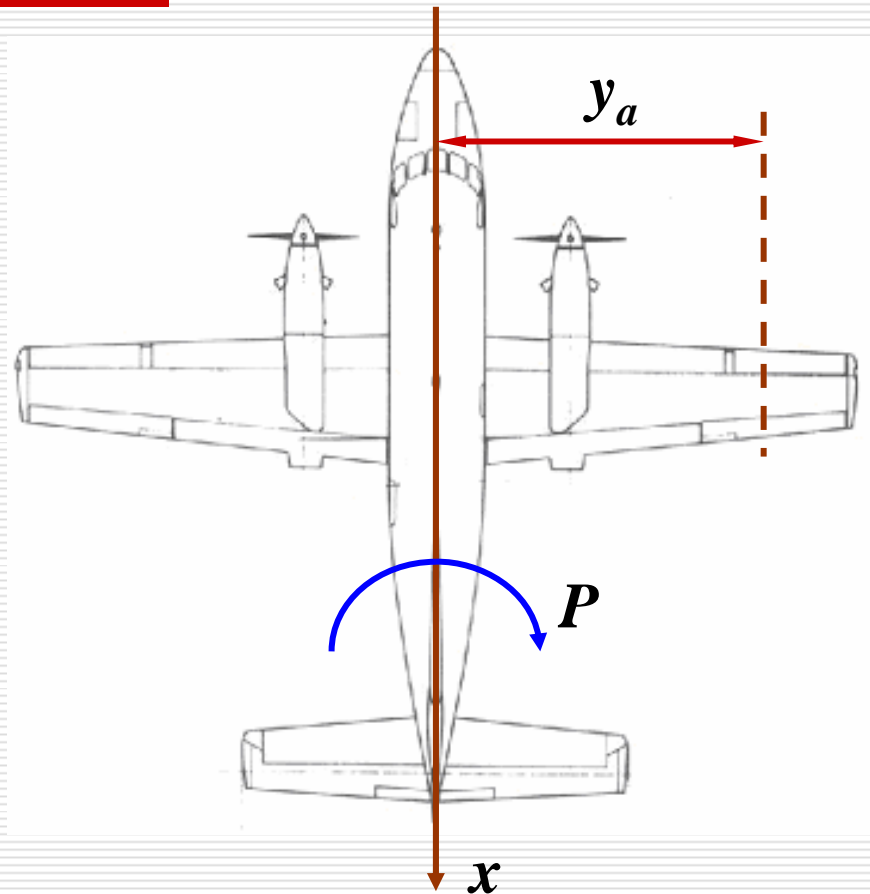
Eficiência e reversão de comandos

Fenômenos que também estão associados à Aeroelasticidade Estática.

Será usado o aileron para exemplificar estes fenômenos. Seu objetivo é criar um momento de rolamento P .

ΔL_a = diferença de sustentação

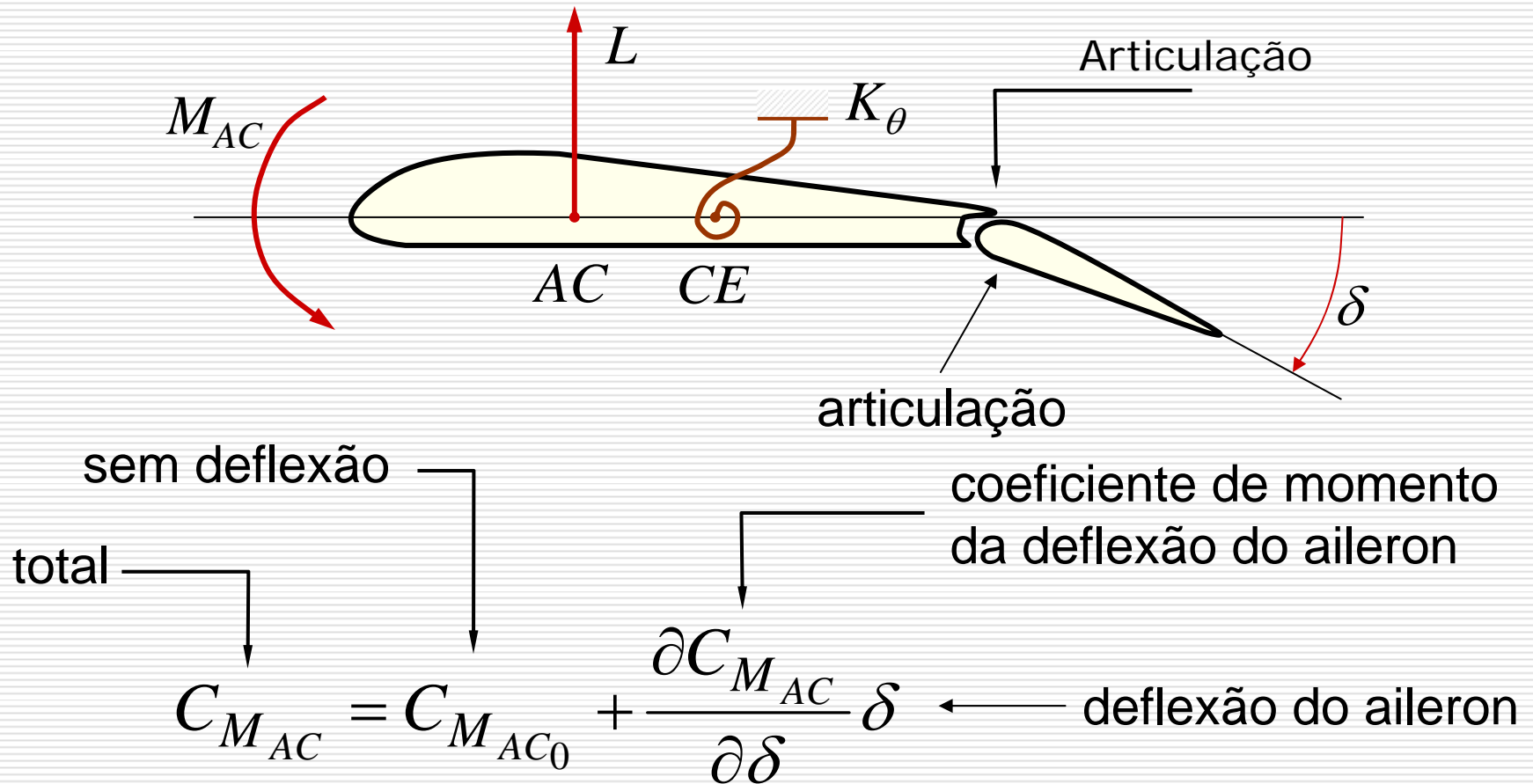
$$M_x = 2\Delta L_a \cdot y_a$$



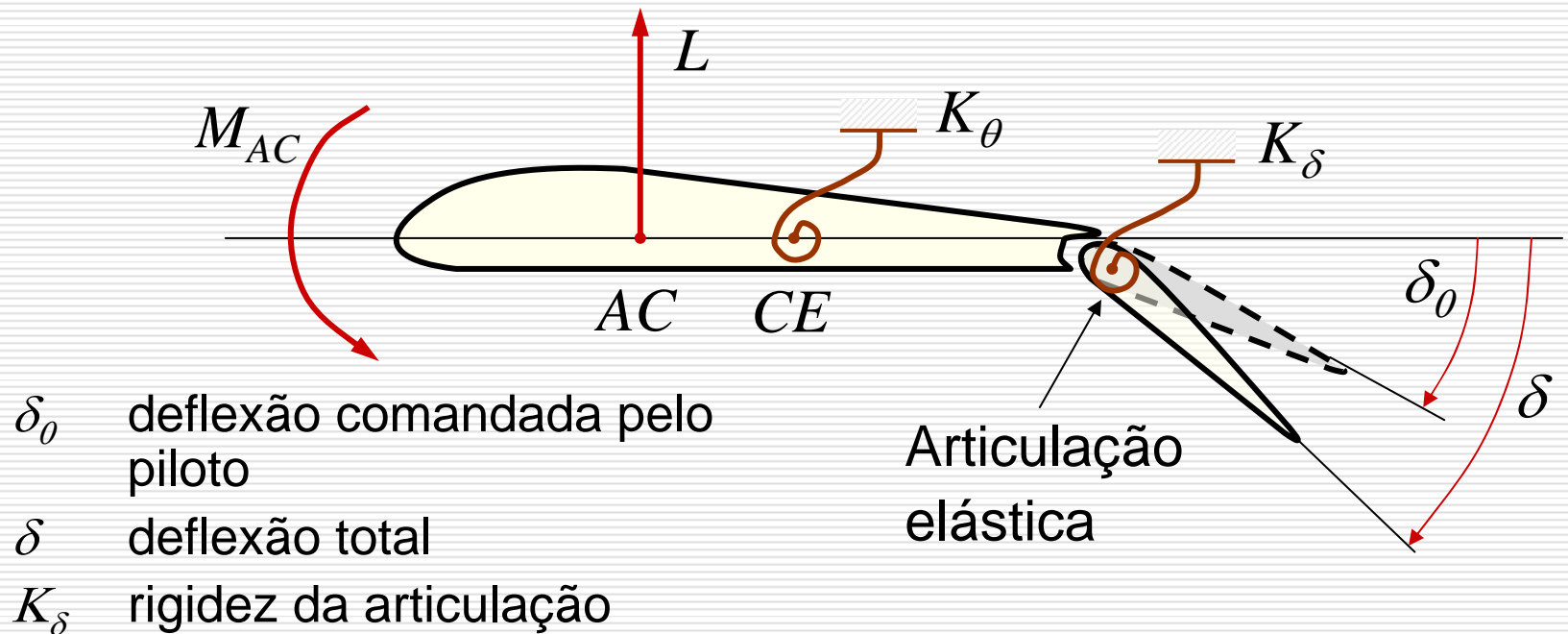
Eficiência e reversão de comandos

- ❑ Supõem-se que a superfície de comando rotacione fazendo um ângulo δ com a linha da corda da seção;
 - ❑ Com a deflexão da superfície de comando, a geometria do perfil muda (camber efetivo), então o C_{MAC} também muda;
 - ❑ Esta variação angular da superfícies de comando gera um momento picador que tende a deformar a asa da aeronave, que é flexível;
 - ❑ Tal deformação pode ser suficientemente grande de forma que a ação do aileron pode gerar um torque em rolamento em sentido contrário do que o esperado.
-

Reversão de comandos



Reversão de comandos



Devido os esforços aerodinâmicos que tendem a introduzir uma nova deflexão da superfície de comando, a deflexão total é diferente da imposta pelo piloto. A deflexão pode ser maior ou menor que a deflexão inicial.

Reversão de comandos

Então, relativo a seção típica com superfície de controle, tem-se:

$$L = qSC_L \quad \therefore \quad L = qS \left[\frac{\partial C_L}{\partial \alpha} (\alpha_0 + \theta) + \frac{\partial C_L}{\partial \delta} \delta \right]$$

$$M_{AC} = qScC_{M_{AC}} \quad \therefore \quad M_{AC} = qSc \left(C_{M_{AC0}} + \frac{\partial C_{M_{AC}}}{\partial \delta} \delta \right)$$

Reversão de comandos

Devido à articulação, o momento aerodinâmico da superfície de controle (H), em relação ao eixo da articulação, é dado por:

$$H = qS_{(H)}c_{(H)}C_{M_{(H)}} \quad \therefore$$

$$H = qS_{(H)}c_{(H)} \left[C_{M_{0(H)}} + \frac{\partial C_{M_{(H)}}}{\partial \alpha} (\alpha_0 + \theta) + \frac{\partial C_{M_{(H)}}}{\partial \delta} \delta \right]$$

Nota: com $\delta +$, $H +$

Exemplo: Seção Típica

1) Equilíbrio de momentos em relação ao CE da seção:

$$qSe \left[\frac{\partial C_L}{\partial \alpha} (\alpha_0 + \theta) + \frac{\partial C_L}{\partial \delta} \delta \right] + qSc \left[C_{M_{AC_0}} + \frac{\partial C_{M_{AC}}}{\partial \delta} \delta \right] = K_\theta \theta$$

2) Equilíbrio de momentos em relação ao eixo de articulação:

$H = K_\delta (\delta - \delta_0)$, com $(\delta - \delta_0)$ sendo a torção elástica da superfície de controle, em relação ao eixo de articulação.

$$qS_{(H)} c_{(H)} \left[C_{M_{0(H)}} + \frac{\partial C_{M_{(H)}}}{\partial \alpha} (\alpha_0 + \theta) + \frac{\partial C_{M_{(H)}}}{\partial \delta} \delta \right] = K_\delta (\delta - \delta_0)$$

Reversão de comandos

O que resulta em um sistema cuja equação matricial é dada por:

$$\begin{bmatrix} a_{11} & a_{12} \\ a_{21} & a_{22} \end{bmatrix} \cdot \begin{Bmatrix} \theta \\ \delta \end{Bmatrix} = \begin{Bmatrix} b_1 \\ b_2 \end{Bmatrix} \quad \therefore \quad \begin{Bmatrix} \theta \\ \delta \end{Bmatrix} = [A]^{-1} \cdot [B]$$

$$a_{11} = e \frac{\partial \mathcal{C}_L}{\partial \alpha} - \frac{K_\theta}{qS}, a_{12} = e \frac{\partial \mathcal{C}_L}{\partial \delta} + \frac{\partial \mathcal{C}_{M_{AC}}}{\partial \delta}$$

$$a_{21} = \frac{\partial \mathcal{C}_{M_H}}{\partial \alpha}, a_{22} = \frac{\partial \mathcal{C}_{M_H}}{\partial \delta} - \frac{K_\delta}{qS_H c_H}$$

Demonstração do desenvolvimento da matriz

Equilíbrio de momentos em relação ao CE da seção:

$$qSe \left[\frac{\partial C_L}{\partial \alpha} (\alpha_0 + \theta) + \frac{\partial C_L}{\partial \delta} \delta \right] + qSc \left[C_{M_{AC_0}} + \frac{\partial C_{M_{AC}}}{\partial \delta} \delta \right] = K_\theta \theta$$

$$qSe \frac{\partial C_L}{\partial \alpha} \alpha_0 + qSe \frac{\partial C_L}{\partial \alpha} \theta + qSe \frac{\partial C_L}{\partial \delta} \delta + qSc C_{M_{AC_0}} + qSc \frac{\partial C_{M_{AC}}}{\partial \delta} \delta = K_\theta \theta$$

$$\left(\cancel{qSe \frac{\partial C_L}{\partial \alpha}} - K_\theta \right) \theta + \cancel{qS} \left(e \frac{\partial C_L}{\partial \delta} + c \frac{\partial C_{M_{AC}}}{\partial \delta} \right) \delta = -\cancel{qS} \left(e \frac{\partial C_L}{\partial \alpha} \alpha_0 + c C_{M_{AC_0}} \right)$$

$$\left(e \frac{\partial C_L}{\partial \alpha} - \frac{K_\theta}{qS} \right) \theta + \left(e \frac{\partial C_L}{\partial \delta} + c \frac{\partial C_{M_{AC}}}{\partial \delta} \right) \delta = - \left(e \frac{\partial C_L}{\partial \alpha} \alpha_0 + c C_{M_{AC_0}} \right)$$

Equilíbrio de momentos em relação ao eixo de articulação

$$qS_{(H)}c_{(H)} \left[C_{M_{0(H)}} + \frac{\partial C_{M_{(H)}}}{\partial \alpha} (\alpha_0 + \theta) + \frac{\partial C_{M_{(H)}}}{\partial \delta} \delta \right] = K_\delta (\delta - \delta_0)$$

$$qS_H c_H C_{M_{0H}} + qS_H c_H \frac{\partial C_{M_H}}{\partial \alpha} \alpha_0 + qS_H c_H \frac{\partial C_{M_H}}{\partial \alpha} \theta + qS_H c_H \frac{\partial C_{M_H}}{\partial \delta} \delta = K_\delta \delta - K_\delta \delta_0$$

$$\left(\cancel{qS_H c_H} \frac{\partial C_{M_H}}{\partial \alpha} \right) \theta + \left(\cancel{qS_H c_H} \frac{\partial C_{M_H}}{\partial \delta} \delta - K_\delta \right) \delta = - \left[\cancel{qS_H c_H} \left(C_{M_{0H}} + \frac{\partial C_{M_H}}{\partial \alpha} \alpha_0 \right) + K_\delta \delta_0 \right]$$

$$\left(\frac{\partial C_{M_H}}{\partial \alpha} \right) \theta + \left(\frac{\partial C_{M_H}}{\partial \delta} \delta - \frac{K_\delta}{qS_H c_H} \right) \delta = - \left[\left(C_{M_{0H}} + \frac{\partial C_{M_H}}{\partial \alpha} \alpha_0 \right) + \frac{K_\delta \delta_0}{qS_H c_H} \right]$$

Montagem da equação matricial

$$\begin{cases} \left(e \frac{\partial C_L}{\partial \alpha} - \frac{K_\theta}{qS} \right) \theta + \left(e \frac{\partial C_L}{\partial \delta} + c \frac{\partial C_{M_{AC}}}{\partial \delta} \right) \delta = - \left(e \frac{\partial C_L}{\partial \alpha} \alpha_0 + c C_{M_{AC0}} \right) \\ \left(\frac{\partial C_{M_H}}{\partial \alpha} \right) \theta + \left(\frac{\partial C_{M_H}}{\partial \delta} \delta - \frac{K_\delta}{qS_H c_H} \right) \delta = - \left[\left(C_{M_{0H}} + \frac{\partial C_{M_H}}{\partial \alpha} \alpha_0 \right) + \frac{K_\delta \delta_0}{qS_H c_H} \right] \end{cases}$$

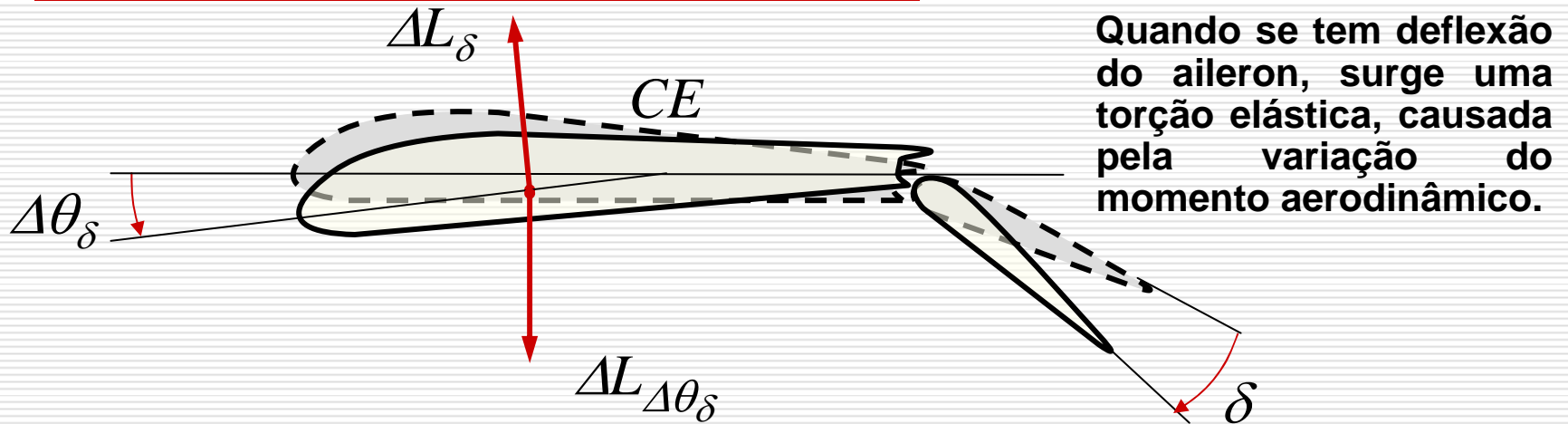
$$\begin{bmatrix} \left(e \frac{\partial C_L}{\partial \alpha} - \frac{K_\theta}{qS} \right) & \left(e \frac{\partial C_L}{\partial \delta} + \frac{\partial C_{M_{AC}}}{\partial \delta} \right) \\ \left(\frac{\partial C_{M_H}}{\partial \alpha} \right) & \left(\frac{\partial C_{M_H}}{\partial \delta} - \frac{K_\delta}{qS_H c_H} \right) \end{bmatrix} \cdot \begin{Bmatrix} \theta \\ \delta \end{Bmatrix} = \begin{Bmatrix} - \left(e \frac{\partial C_L}{\partial \alpha} \alpha_0 + c C_{M_{AC0}} \right) \\ - \left(C_{M_{0H}} + \frac{\partial C_{M_H}}{\partial \alpha} \alpha_0 + \frac{K_\delta \delta_0}{qS_H c_H} \right) \end{Bmatrix}$$

$$\begin{bmatrix} a_{11} & a_{12} \\ a_{21} & a_{22} \end{bmatrix} \cdot \begin{Bmatrix} \theta \\ \delta \end{Bmatrix} = \begin{Bmatrix} b_{11} \\ b_{12} \end{Bmatrix} \quad \therefore \quad \{A\} \cdot \begin{Bmatrix} \theta \\ \delta \end{Bmatrix} = \{B\} \quad \therefore \quad \begin{Bmatrix} \theta \\ \delta \end{Bmatrix} = \{A\}^{-1} \cdot \{B\}$$

Divergência

- ❑ A divergência aeroelástica vai ocorrer quando o $\det[A] = 0$, o que é real para um determinado valor da pressão dinâmica, exceto se o CE estiver à frente do AC, caso onde nunca ocorre a divergência aeroelástica.
 - ❑ Este critério de estabilidade é conhecido como critério de estabilidade de Euler, e será apresentado formalmente quando tratarmos do problemas de asas sujeitas a fenômenos aeroelásticos estáticos.
-

Reversão de comandos



$\Delta L_{\Delta\theta_\delta}$ é devido o momento picador que surge com a deflexão positiva do aileron, tendendo a diminuir a sustentação adicional gerada, ou o momento de cabragem que surge com a deflexão negativa do aileron, tendendo a adicionar sustentação.

ΔL_δ sustentação gerada pela deflexão do aileron se a asa fosse rígida.

$\Delta L_\delta = qS \frac{\partial C_L}{\partial \delta} \delta$ onde $\partial C_L / \partial \delta$ é a derivada de controle, que depende do perfil e da superfície de controle.

Reversão de comandos

A deflexão do aileron também gera uma mudança no momento aerodinâmico, representado por:

$$\Delta M_{AC_\delta} = q S c \frac{\partial M_{AC}}{\partial \delta} \delta \quad \text{onde } \frac{\partial M_{AC}}{\partial \delta} \text{ é uma derivada tipicamente negativa.}$$

Voltando à equação de equilíbrio $L e + M_{AC} = K_\theta \theta$

as variações em L e M_{AC} produzirão uma torção elástica adicional $\Delta \theta_\delta$ resultando em $\Delta L_a e + \Delta M_{AC} = K_\theta \Delta \theta_\delta$

ou seja, saindo de uma condição de equilíbrio para outra condição de equilíbrio, onde:

$$\Delta L_a = \Delta L_\delta + \Delta L_{\Delta \theta_\delta}$$

Reversão de comandos

E escrevendo-se na forma de coeficientes, tem-se:

$$qSc \frac{\partial C_{M_{AC}}}{\partial \delta} \delta + eqS \left(\frac{\partial C_L}{\partial \delta} \delta + \frac{\partial C_L}{\partial \alpha} \Delta \theta_\delta \right) = K_\theta \Delta \theta_\delta$$

A partir desta expressão, obtém-se a mudança na torção elástica correspondente, ou seja, a Torção Elástica Adicional causada pela deflexão do aileron.

Assumindo-se que δ seja conhecido, a expressão para a Torção Elástica Adicional é dada por:

$$\Delta \theta_\delta = \frac{e \frac{\partial C_L}{\partial \delta} + c \frac{\partial C_{M_{AC}}}{\partial \delta}}{\frac{K_\theta}{qS} - e \frac{\partial C_L}{\partial \alpha}} \delta$$

Eficiência dos comandos

Com isso, pode-se calcular as mudanças adicionais no carregamento aerodinâmico do perfil devido à deflexão do aileron:

$$\Delta L_a = \Delta L_\delta + \Delta L_{\Delta\theta_\delta} \quad \therefore \quad \Delta L_a = qS \frac{\partial C_L}{\partial \delta} \delta + qS \frac{\partial C_L}{\partial \alpha} \left(\frac{e \frac{\partial C_L}{\partial \delta} + c \frac{\partial C_{M_{AC}}}{\partial \delta}}{\frac{K_\theta}{qS} - e \frac{\partial C_L}{\partial \alpha}} \delta \right) \therefore$$
$$\Delta L_a = qS \delta \left(\frac{\frac{\partial C_L}{\partial \delta} \frac{K_\theta}{qS} + c \frac{\partial C_L}{\partial \alpha} \frac{\partial C_{M_{AC}}}{\partial \delta}}{\frac{K_\theta}{qS} - e \frac{\partial C_L}{\partial \alpha}} \right)$$

Eficiência dos comandos

devido à deflexão
do aileron

$$\Delta L_a = qS\delta \left(\frac{\frac{\partial C_L}{\partial \delta} \frac{K_\theta}{qS} + c \frac{\partial C_L}{\partial \alpha} \frac{\partial C_{M_{AC}}}{\partial \delta}}{\frac{K_\theta}{qS} - e \frac{\partial C_L}{\partial \alpha}} \right)$$

devido à torção na
asa, por causa da
deflexão do aileron

A uma determinada pressão dinâmica (q) não muito pequena, pode ocorrer o termo no numerador zerar, ou seja ΔL_a será nulo, o que será um bom critério para adotar a condição de reversão do comando

Limite da reversão

$$0 = \left(\frac{\partial C_L}{\partial \delta} \frac{K_\theta}{qS} + c \frac{\partial C_L}{\partial \alpha} \frac{\partial C_{M_{AC}}}{\partial \delta} \right) qS \delta =$$

$$= C_{L\delta} K_\theta + c C_{L\alpha} C_{M_{AC}\delta} qS = 0 \quad \Rightarrow$$

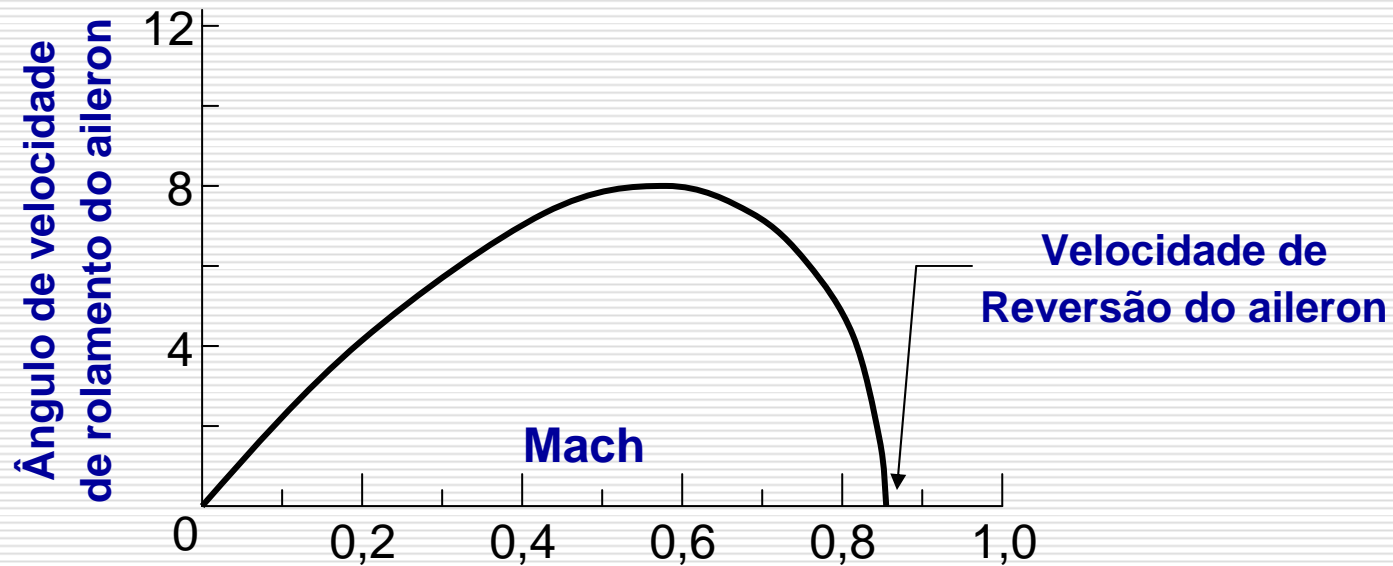
$$q_R = - \frac{C_{L\delta} K_\theta}{Sc C_{L\alpha} C_{M_{AC}\delta}}$$

Eficiência dos comandos

Esta pressão é denominada Pressão Dinâmica de Reversão de Controle (q_R).

$$q_R = -\frac{K_\theta}{Sc} \frac{\frac{\partial C_L}{\partial \delta}}{\frac{\partial C_L}{\partial \alpha} \frac{\partial C_{M_{AC}}}{\partial \delta}}$$

Eficiência dos Comandos



Efeito da velocidade na eficiência do aileron
